



پتانسیل توسعه کارست و مدل مفهومی کارست ساختگاه سد ابیورد با استفاده از مطالعات زمین شناسی ساختاری و ژئوتکنیک و روش سلسله مراتبی AHP

حسین محمدزاده^{*}^۱، حید ناصری حصار^۲، بهنام رحیمی^۳

دریافت مقاله: ۱۴۰۱/۱۰/۱۲ پذیرش مقاله: ۱۴۰۲/۰۵/۲۰

چکیده

امروزه بسیاری از سدها در مناطق کارستی احداث می‌شوند، و معمولاً به دلیل هیدرولوژی پیچیده مناطق کارست، آب‌بندی این سدها سخت‌تر، طولانی‌تر و گرانتر از سدهای دیگر بوده و احتمال فرار آب از آنها بیشتر است. از این رو، بررسی نقش توسعه کارست در محل احداث سدها ضروری است. سد ابیورد از نوع خاکی با هسته رسی در نزدیکی روستای ایلانچق، به ارتفاع ۵۱ متر و حجم دریاچه ۴۳ میلیون مترمکعب احداث شده است. با توجه به ظهور چشممه‌ها در سازند آهکی کلات پایین دست سد ابیورد، پس از آبگیری موقت آن، امکان توسعه کارست بر اثر خروج آب، مهمترین مشکل سد به شمار می‌رود. در این مقاله با انجام مطالعات زمین‌شناسی، زمین‌شناسی ساختاری، نفوذپذیری ژئوتکنیکی و روش تحلیل سلسله مراتبی (AHP)، پتانسیل توسعه کارست در محدوده و تکیه‌گاه‌های ساختگاه سد ابیورد، مورد بررسی قرار گرفته است. نتایج، نشان می‌دهد که حدود ۲/۴ درصد از مساحت ۸۰ کیلومتر مربعی محدوده سد ابیورد، دارای پتانسیل بالایی در توسعه کارست می‌باشد و نشت فرار آب از سازند کلات در جناح راست و زیر سد ابیورد وجود دارد، اما هنوز کارست توسعه نیافته است. با توجه به مدل ساختاری-مفهومی تهیه شده از موقعیت سد ابیورد و محل قرارگیری مخزن سد نسبت به شبیه لایه‌بندی سازند کلات، که همسو با یال جنوبی ناویدیس ابیورد می‌باشد، امکان توسعه کارست در ساختگاه سد وجود دارد.

کلید واژه‌ها: سدهای کارستی، سد ابیورد، زمین‌شناسی ساختاری، ژئوتکنیک، AHP

۱. مدیر گروه پژوهشی تحقیقات آب‌های زیرزمینی و ژئوترمال (متاب)، پژوهشکده آب و محیط زیست، دانشگاه فردوسی مشهد (mohammadzadeh@um.ac.ir)

۲. دانشجوی کارشناسی ارشد، گروه زمین‌شناسی، دانشکده علوم، دانشگاه فردوسی مشهد (vanahe@gmail.com)

۳. استاد گروه زمین‌شناسی، دانشکده علوم، دانشگاه فردوسی مشهد (b-rahimi@um.ac.ir)

* مسئول مکاتبات

۱. مقدمه

(Katzer) و ... طبقه‌بندی شده اند (Milanovic, 2018). تا کنون سدهای زیادی در نواحی کارستی کشورهایی نظیر آمریکا، ترکیه، چین، کرواسی، یونان، ایران، اسلونی، اسپانیا و یوگسلاوی ساخته شده اند که با مشکل از دست دادن آب روبرو بوده و برخی از مطالعات توسعه کارست و سد سازی در جهان و ایران در جدول (۱) ارایه شده است. در ایران مطالعات کارست از سال ۱۳۵۰ در حوضه‌های کارستی زاگرس آغاز شد، اما مطالعات جامع از سال ۱۳۶۹ با تأسیس مرکز مطالعات و پژوهش‌های کارست در شیراز آغاز گردید (ولایتی و خانعلی زاده، ۱۳۹۰، سد لار با فرار آب ۱۰/۸ متر مکعب بر ثانیه، سد مارون با ۹/۵ متر مکعب بر ثانیه، سد سیمراه با ۷ متر مکعب بر ثانیه، سد کارون ۱ (شهید عباسپور) با ۱-۶ متر مکعب بر ثانیه، تنگ آب با ۳/۵ متر مکعب بر ثانیه، کارون ۳ با ۳-۲ متر مکعب بر ثانیه، کوثر (تنگ داک) با حدود ۳ متر مکعب بر ثانیه، کارون ۴ با ۰/۶ متر مکعب بر ثانیه و سلمان فارسی با ۰/۵ متر مکعب بر ثانیه از جمله سدهایی هستند که فرار آب داشته‌اند (Milanovic, 2018).

پس از اولین آبگیری آزمایشی سد ایبورد (در سال ۱۳۹۸) و با مشاهده چشمeh هایی در پایین دست، آبگیری متوقف و عملیات حفاری و تزریق آغاز گردید. سد مخزنی ایبورد از نوع خاکی با هسته رسی در نزدیکی روستای ایلانچق بر روی یک آبراهه طبیعی (خشکرود) به ارتفاع ۵۱ متر و حجم دریاچه ۴۳ میلیون مترمکعب احداث شده است. بخشی از آب تنظیم شده از مخزن سد توسط یک خط انتقال به طول ۱۲/۶ کیلومتر جهت تامین آب شرب و همچنین آبیاری اراضی شهر جنوب درگز

از آنجائی که سازندهای کارستی با توجه به نوع دره‌ها و گسترش زیاد آنها جای مناسب جهت احداث سد می‌باشد و احداث سدها در این سازندها اجتناب ناپذیر است، لذا مطالعات دقیق بررسی پتانسیل توسعه کارست در ساختگاه و محدوده سدها ضروری می‌باشد. با آبگیری سدها و با افزایش فشار ناشی از پر شدن مخزن سد و به دلیل نوسانات بعدی سطح آب مخزن، جوان سازی کارست‌های قدیمی با باز شدن مجرایا و غارهای پر شده آغاز می‌شود و کارست مجددًا فعال می‌شود و به دنبال آن، آب شستگی و فرسایش می‌تواند نقش مخرب کلیدی ایفا کند. در حدود ۸۰ درصد از سدها کارستی، با مشکلات تراوش قابل توجهی در طول اولین پر کردن یا عملیات بعدی روبرو می‌شوند و بین چند ۱۰ لیتر تا چند متر مکعب در ثانیه نشتی دارند که یکی از مشکلات اصلی طراحان سدهای کارستی است (Milanovic, 2018).

کارستی شدن (Karstification) فرآیندی پیچیده است که شامل دو فرآیند متقابل ۱) انحلال شیمیایی توده سنگ و ایجاد مجرایا و ۲) فروریزش یا فرسایش مکانیکی در نتیجه انرژی جنبشی آب‌های زیرزمینی می‌باشد، بدین معنی که کارستی شدن در نتیجه فرآیندهای دوگانه انحلال-خوردگی شیمیایی و فرسایش-تخرب فیزیکی صورت می‌گیرد (ولایتی، ۱۳۸۷). اولین مراحل کارستی شدن از انحلال آهک‌ها در امتداد ناپیوستگی‌های خطی مانند مرز لایه‌ها و یا شکستگی‌ها شکل می‌گیرد. کارست‌ها براساس معیارهای مختلفی توسط افراد مختلفی مانند سویجیچ (Cvijić)، سویتینگ (Sweeting)، هراک (Herak)، یوآن (Yuan)، جینینگ (Jennings)، فرد و ویلیامز (Ford and Williams)، کوینلن (Quinlan)، کاتز

جدول ۱. برخی از سدهای مهم کارستی مطالعه شده در ایران و جهان و روش مطالعات

Reference	Study method	Dam name	Row
Unal et al., 2007	Study of water leakage volume and karst development, by injecting grout through piezometric boreholes and by water level measurements.	Ataturk in Turkey	1
Laksiri, 2007	Determining the leakage model and mechanism by measuring the water level in reservoir and piezometers during 15-year period, and	Samanalaewa in Sri Lanka	2

	hydrogeochemical and isotopic studies.		
Turkmen et al. ,2002	The study of water levels in boreholes of the dam site and investigating the hydraulic connection between the dam reservoir and the new karst springs using dye tracing.	Kalecik in Turkey	3
Hocini and Mami,2011	Water leakage study using isotopic, hydrogeochemical and hydrological variations and reservoir water level control using dams' piezometers.	Beniharoun in Algeria	4
Ghobadi et al., 2005	Investigating the groundwater level fluctuations in boreholes and identifying the leakage paths in the karst limestone in the right abutment of the dam, with hydrogeochemical tests, dye tracing and XRF.	Shahid Abbaspor in Iran	5
Mozafari and Raeisi, 2017	Preparation of a conceptual model of the flow path of water leakage from the dam applying stable isotope, tracing and reservoir level variations and spring discharges studies	Lar in Iran	6
Mozafari and Raeisi, 2015	Preparation of flow model for recharging springs by monthly measurement of springs 'water discharge rate, water level of dam reservoir and in observation wells, and study of geological formations.	Kowasr in Iran	7
Adinehvand, 2017	Evaluation of water leakage potential from karstic dam using hydrogeochemical and stable isotopes data, water level variations, geological logs, permeabilities and fractured zones	Abolabbas in Iran	8

های اکتشافی ژئوتکنیکی و همچنین تهیه نقشه پهنه بندی پتانسیل توسعه کارست در محدوده مطالعه با روش Analytical Hierarchy Process (AHP) انجام شده است.

۲. مواد و روش

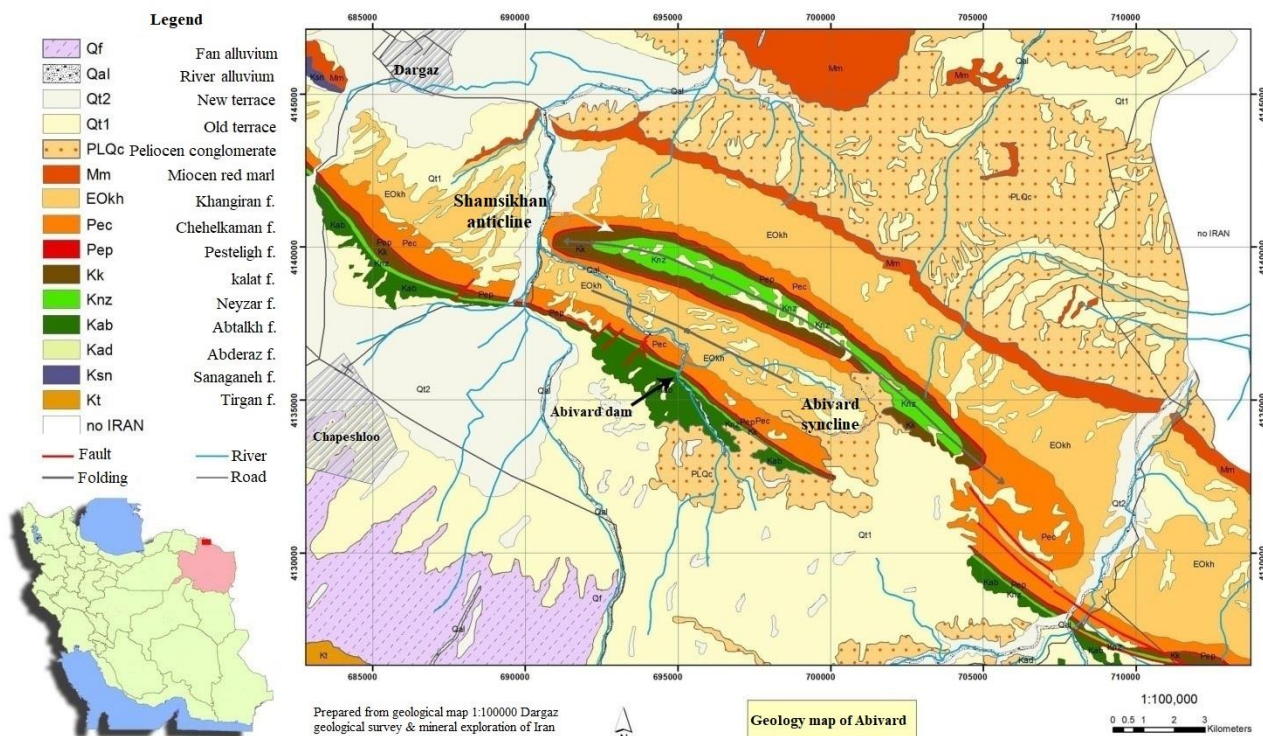
به منظور مطالعه پتانسیل توسعه کارست منطقه و تهیه مدل مفهومی کارست از تکیه گاه های محل سد ابیورد، از نقشه های توپوگرافی با مقیاس ۱:۲۵۰۰۰، نقشه زمین شناسی منطقه سد ابیورد در محدوده نقشه زمین شناسی ۱:۱۰۰۰۰ (با اندیس ۷۸۶۴)، عکس های هوایی سه بعدی گوگل ارث، استفاده و همچنین چهار مرحله بازدید و پیمایش های صحرایی از محل سد، به منظور مطالعات چینه شناسی، سنگ شناسی، زمین شناسی ساختاری و درزه نگاری و بررسی پدیده های کارستی منطقه صورت گرفت. جهت مطالعات زمین شناسی ساختاری و درزه نگاری ابتدا مرز مناطق مورد مطالعه برای درزنگاری مشخص، و سپس موقعیت ایستگاه های اندازه گیری بر روی عکس های هوایی، با توجه به موقعیت نسبت به سد و نوع لیتو洛ژی، تعیین گردید. در بازدید و پیمایش صحرایی از منطقه مورد مطالعه، موقعیت

اختصاص یافته است. پروژه سد ابیورد شامل سد مخزنی خاکی، سد انحرافی بر روی رودخانه زنگلانلو، تونل و کanal هدایت آب اسپیان با هدف انتقال آب از رودخانه زنگلانلو به پشت سد مخزنی، شبکه آبیاری به وسعت هزار و ۷۷۰ هکتار و یک خط انتقال آب شرب به شهر درگز است (آب پوی، ۱۳۸۴). سد ابیورد در فاصله ۳۰ کیلومتری جنوب شرقی شهرستان درگز، در شمال استان خراسان رضوی (در مختصات UTM با طول جغرافیایی ۶۹۵۱۰۰ و عرض جغرافیایی ۴۱۳۵۷۶۰ در زون ۴۰) واقع شده است (شکل ۱). پس از طی ۱۷ کیلومتر از مسیر جاده درگز-کلات و عبور از چاپسلو، و پس از طی ۸ کیلومتر از دو راهی حسن آباد به سمت ایلانچق، پس از طی ۵ کیلومتر، سد ابیورد قابل دسترسی است.

هدف از این مقاله، ۱) مطالعه و بررسی پتانسیل توسعه کارست در محدوده سد ابیورد، ۲) ارائه مدل مفهومی کارست در محدوده و ساختگاه سد ابیورد، و ۳) تعیین مسیر احتمالی نشت آب در جناحین و بستر تکیه گاه سد ابیورد می باشد. برای این منظور، مطالعات سازندهای زمین شناسی، مطالعات ساختاری و درزه نگاری، بررسی نفوذپذیری لوژن در گمانه

با استفاده از نرم افزار dips ترسیم گردید. همچنین با ترسیم تمامی درزه‌ها، دسته درزه‌های غالب منطقه بر روی استریونت ترسیم و جهت امتداد و شیب آن بدست آمد. پس از آن با مقایسه دسته درزه‌های غالب منطقه با امتداد سد ابیورد و مقایسه با استریونت‌های درزه هر ایستگاه، امکان نفوذ آب از مخزن سد بررسی گردید. همچنین نقشه زمین شناسی با مقیاس ۱:۱۰۰۰۰ برای منطقه مورد مطالعه تهیه گردید.

دقیق ایستگاه‌ها با توجه به اینکه رخنمون خوبی داشته باشد، انتخاب و موقعیت ایستگاه‌های برداشت درزه‌ها توسط GPS تعیین گردید. مطالعات درزه‌نگاری و برداشت درزه‌ها و شکستگی‌ها در ۷ ایستگاه (جدول ۲ و شکل ۲)، در یک فاصله ۲۰ تا ۳۰ متری، با تعداد ۴۰ تا ۵۰ برداشت، به روش پیمایش-فهرست نویسی انجام گردید. پس از برداشت درزه‌ها برای هر ایستگاه رزدیاگرام و استریوپونت درزه‌های منطقه



^{شکا} ۱. موقعیت محدوده مورد مطالعه در ایران و نقشه زمین شناسی محدوده مورد مطالعه (اکم، و همکاران، ۱۳۸۳)

۳. مواد و روش‌ها

مطالعه برای درزه‌نگاری مشخص، و سپس موقعیت ایستگاه-های اندازه‌گیری بر روی عکس‌های هوایی، با توجه به موقعیت نسبت به سد و نوع لیتلولژی، تعیین گردید. در بازدید و پیمایش صحراوی از منطقه مورد مطالعه، موقعیت دقیق ایستگاه‌ها با توجه به اینکه رخنمون خوبی داشته باشد، انتخاب و موقعیت ایستگاه‌های برداشت درزه‌ها توسط GPS تعیین گردید. مطالعات درزه نگاری و برداشت درزه‌ها و شکستگی‌ها در ۷ ایستگاه (جدول ۲ و شکل ۲)، در یک فاصله ۲۰ تا ۳۰ متری، با تعداد ۴۰ تا ۵۰ برداشت، به روش پیمایش-فهرست نویسی انجام گردید. پس از برداشت درزه-

به منظور مطالعه پتانسیل توسعه کارست منطقه و تهیه مدل مفهومی کارست از تکیه گاه های محل سد ابیورد، از نقشه های توپوگرافی با مقیاس ۱:۲۵۰۰۰، نقشه زمین شناسی منطقه سد ابیورد در محدوده نقشه زمین شناسی ۱:۱۰۰۰۰۰ درگز (با اندیس ۷۸۶۴)، عکس های هوایی سه بعدی گوگل ارث، استفاده و همچنین چهار مرحله بازدید و پیمایش های صحرایی از محل سد، به منظور مطالعات چینه شناسی، سنگ شناسی، زمین شناسی ساختاری و درزه نگاری و بررسی پدیده های کارستی منطقه صورت گرفت. جهت مطالعات زمین شناسی ساختاری و درزه نگاری ابتدا مزr مناطق موردن

از آن با مقایسه دسته درزهای غالب منطقه با امتداد سد ابیورد و مقایسه با استریونت‌های درزه هر ایستگاه، امکان نفوذ آب از مخزن سد بررسی گردید. همچنین نقشه زمین شناسی با مقیاس ۱:۱۰۰۰۰ برای منطقه مورد مطالعه تهیه گردید.

ها برای هر ایستگاه رزدیاگرام و استریونت درزه های منطقه با استفاده از نرم افزار dips ترسیم گردید. همچنین با ترسیم تمامی درزه ها، دسته درزهای غالب منطقه بر روی استریونت ترسیم و جهت امتداد و شبیه آن بدست آمد. پس

جدول ۲. مشخصات ایستگاه‌های درزه برداری در محل سد ابیورد (موقعیت ایستگاه‌ها بر روی شکل ۲ مشخص است)

Location	Height (m.a.s.l.)	latitude (UTM)	Longitude (UTM)	Station
Left abutment of dam	575	4135722	691513	1
Right abutment of dam	591	5135598	695247	2
Left abutment of dam	610	4135751	695287	3
Downstream of right abutment of dam	605	4135820	965422	4
Downstream of Right side of the dam body	678	4135873	695236	5
Left abutment of dam	618	4135917	695030	6
Right abutment of dam	604	4135574	695295	7

موقعیت سد در میان محدوده باشد، حوضه های آبریز سد را در برگیرد، و سازندهای شاخص و مهم که پتانسیل کارستی شدن را دارند شامل شود، انتخاب گردید. سپس با استفاده از روش تحلیل سلسله مراتبی (AHP)، نقشه نهایی پنهان بندی پتانسیل توسعه کارست (K_p) محدوده ابیورد با تهیه نقشه رستی لایه های اطلاعاتی موثر در توسعه کارست (لیتولوژی-Lt، درزه و شکستگیها-J، دما-T، بارندگی-P، کاربری اراضی-S، شبیب-Lu، جهت شبیب-Sd، ارتفاع-H و فاصله از آبراهه-R؛ جدول ۳) و با اعمال وزن های به دست آمده برای هر لایه بر اساس کارشناسی و مطالعات مشابه محدوده (عارفی رضایی، ۱۳۹۹) و همپوشانی آنها با استفاده از رابطه ۱، در محیط GIS با استفاده از دستور Raster گرفت.

انجام Calculator

برای بررسی رفتار توده های سنگی تکیه گاههای سد در مقابل آزمایش نفوذپذیری ژئوتکنیک و تحلیل رفتار هیدرولیکی جریان آب و توسعه کارست، ابتدا نتایج تست لوزن در هر ۱۵ متر از سطح تراز حفاری گمانه ها برگرفته از پروژه مطالعات سد ابیورد (آبپوی، ۱۳۸۴) محاسبه، و سپس مقدار نفوذپذیری لوزن در ترازهای مختلف هر گمانه، بر روی پروفیل های طولی موازی با محور سد، ثبت گردید تا پروفیل تغییرات لوزن در گمانه های اکتشافی رسم و بهترین مسیر جریان آب از تکیه گاه ها بدست آید. همچنین به منظور تشخیص رفتار توده سنگی در مقابل فشار آب و نوع جریان، نمودارهای دبی-زمان در آزمایش های لوزن گمانه ها، بررسی گردید (Milanovic, 2018).

جهت بررسی توسعه کارست در منطقه، ابتدا محدوده سد ابیورد، به مساحت ۶۷۷ کیلومتر مربع، به ترتیبی که

$$K_p = [34.1Lt + 23.3J + 5.7T + 7.6P + 2.6Lu + 7.4S + 3.5Sd + 10.7H + 5.1R]/100$$

رابطه ۱.

جدول ۳. لایه های اطلاعاتی مورد نیاز برای نقشه پنهان بندی توسعه کارست محدوده ابیورد

با استفاده از روش تحلیل سلسله مراتبی (AHP)

Layers weight	Preparation of layer raster maps	Data layers
34.1	By digitizing 1:100000 geological maps and identifying and classifying of formations according to their lithology (calcareous or non-calcareous).	Lithology

23.3	Extracting and drawing the map of fractures directly from Google Earth satellite images with a ground resolution of 30 meters.	Joints and fractures
5.7	Using the correlation equation of height and temperature for Abivard area ($T = -0.002h + 21.99$.)	Temperature
7.6	Using the correlation equation of height and precipitation for Abivard area ($R = 0.091h + 184.2$).	Precipitation
2.6	Using Landsat8 satellite photos with the combination of B3 and B5 bands in the Landviwer environment.	Land use
7.4	Using the topographic map layer in the GIS environment.	Slope
3.5	Using the topographic map layer in the GIS environment.	Slope direction
10.7	Digital Elevation Map (DEM) of the topography of the regions using a digital topographic map with 10 m interval in the GIS environment.	Height
5.1	Preparing the distance layer from rivers with the Buffer command in the GIS environment as a raster.	Distance from rivers

این حوضه برابر با $1/2$ میلیون متر مکعب برآورد شده است. در محل سد ابیورد مقدار ورودی رواناب متوسط سالانه به سد برابر با $35/28$ میلیون متر مکعب، میزان تبخیر از سطح آزاد آب سد ابیورد، 1507 میلیمتر در سال و مقدار تبخیر از تشت، 2027 میلیمتر در سال برآورد شده است (آب پوی، 1384).

با توجه به قرار گیری منطقه مورد مطالعه در زون ساختاری کپه داغ، عوامل تکتونیکی شامل فشارش ورقه توران و ایران به همراه عوامل آب و هوایی، سنگ شناسی و زیستی، در شکل گیری ژئومورفولوژی کنونی موثر بوده اند. واحدهای سنگی مقاومی چون سنگ آهکهای سازندهای مزدوران، تیرگان، کلات و چهل کمان غالباً نواحی برآمده را درست کرده (صخره ساز) و واحدهای نامقاوم و فرسایش پذیری نظیر ماسه سنگها، شیل ها و مارنهای سازندهای شوریجه، سرچشمه و سنگانه نواحی پست تر را تشکیل می‌دهند. سازندهای صخره ساز کترل کننده های اصلی مورفولوژی حوضه کپه داغ هستند. اختلاف مقاومت در سازندها موجب شکل گیری اشکال چین خوردگی متفاوت و همچین ایجاد زمین لغزش و ریزش در منطقه است. گسله های فراوان در جایه جایی ها در محور تاقدیس و ناویدیس ها، خردشگی در سازندها، فرسایش و رخنمون سازندها، ایجاد پدیده های کارستی

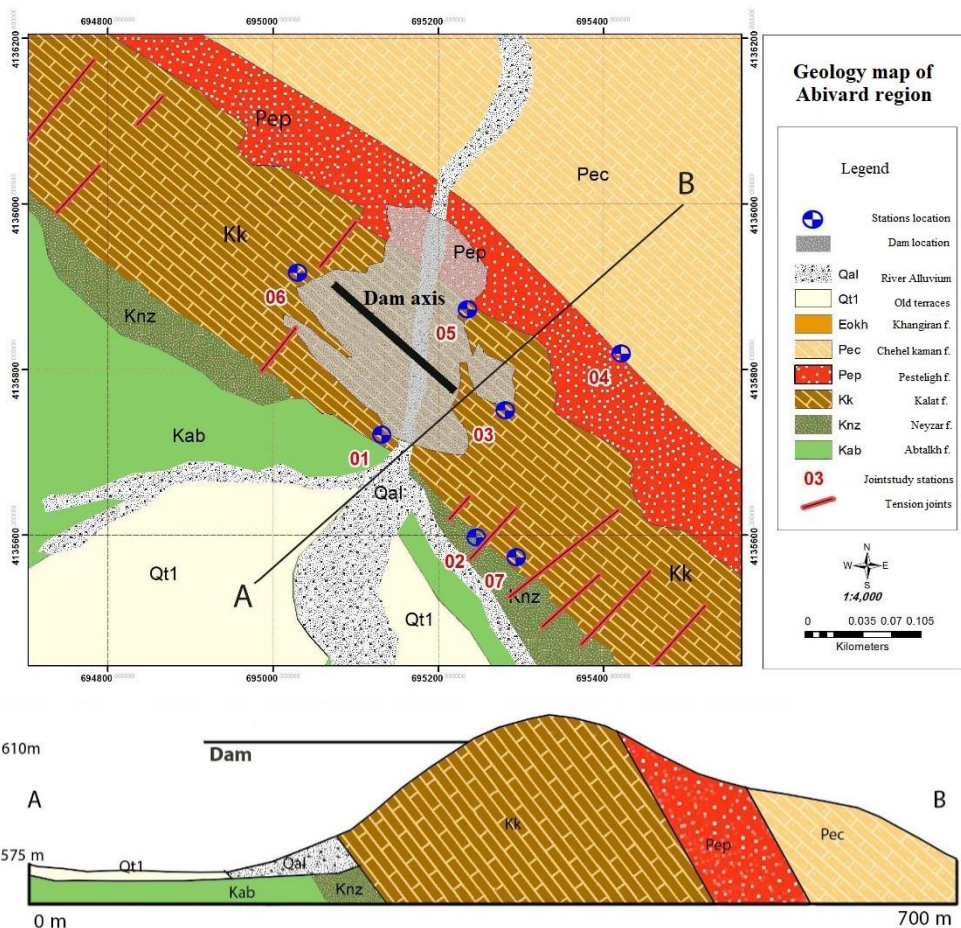
۳. هیدرولوژی، ژئومورفولوژی و زمین شناسی منطقه مورد مطالعه

حوضه سد ابیورد بخشی از حوضه قره قوم و در مختصات جغرافیای $58^{\circ}32'$ تا $59^{\circ}25'$ طول شرقی و $36^{\circ}55'$ تا $37^{\circ}45'$ عرض شمالی واقع شده است. میزان رواناب ورودی به سد ابیورد از دو بخش آب ورودی از مسیر تونل انحرافی زنگلانلو و حوضه آبریز خود سد ابیورد می باشد. مساحت حوضه بند انحرافی زنگلانلو 820 کیلومتر مربع، حداکثر و حداقل ارتفاع آن به ترتیب 2980 و 920 (با ارتفاع متوسط 2003) متر از سطح دریا می باشد. بارندگی متوسط حوضه زنگلانلو بطور متوسط در هرسال 360 میلی متر و درجه حرارت متوسط سالیانه آن $8/1$ درجه سانتیگراد می باشد. میزان سیلاب حداکثر با دوره بازگشت 50 سال $82/6$ متر مکعب بر ثانیه برآورد شده است. مقدار رواناب متوسط سالانه این حوضه برابر با $34/08$ میلیون متر مکعب برآورد شده است. مساحت حوضه سد ابیورد 50 کیلومتر مربع، حداکثر و حداقل ارتفاع آن به ترتیب 1140 و 580 (با ارتفاع متوسط 729) متر از سطح دریا می باشد. بارندگی متوسط حوضه ابیورد بطور متوسط در هرسال 232 میلی متر و درجه حرارت متوسط سالیانه آن $15/5$ درجه سانتیگراد می باشد. میزان سیلاب حداکثر با دوره بازگشت 50 سال $2/5$ متر مکعب بر ثانیه برآورد شده است. مقدار رواناب متوسط سالانه

جنوب منطقه گسترش دارد. سازند کلات در نزدیکی سد ابیورد در برش شمسمی خان، دارای بخش‌های الف- سنگ آهک زیرین ، ب- شیل زیرین ، ج- بسنگ آهک میانی ، د- شیل فوقانی، که شامل شیل آهکی به رنگ خاکستری مایل به سبز است، و ر- سنگ آهک فوقانی می باشد. از این ۵ بخش سازند کلات بخش زیرین تنها بخش گسترش یافته به سوی شرق و غرب می باشد و بخش های دیگر نازک شده و از بین می روند(کریمیان طرقه و همکاران،۱۳۸۸). در محل سد ابیورد سازند کلات به صورت هم شیب بر زیر سازند پستیق در جناحین و بستر سد دیده می شود. سازند کلات با زاویه ۶۰ درجه به سمت شمال شرقی رخنمون دارد. در منطقه مورد مطالعه سازند پسته لیق از طبقات ماسه سنگی قرمز و شیل رسی خاکستری مایل به قرمز تشکیل شده است و مرز زیرین آن عمدتاً با سازند کلات هم شیب اما فرسایشی است، و مرز فوقانی آن در این حوضه گاهی با سازند چهل کمان تدریجی و گاهی با سازند خانگیران است. در محل ساختگاه سد ابیورد همانطور که در پروفیل AB (در شکل ۲) آمده است، سازندهای آب تلخ، نیزار، کلات، پسته لیق، چهل کمان، آبرفت های قدیمی Qt1 و آبرفت رودخانه ای Qal هر یک با خصوصیات چینه سنگی متفاوت، رخنمون یافته اند.

وشکل گیری مورفولوژی کنونی موثر بوده اند. گسترش درزه های مختلف باعث تولید کارست و پدیده های لغزش، ریزش و تالوس شده است (کریمیان و همکاران، ۱۳۸۸).

در محدوده مورد مطالعه (شکل ۱) مهم ترین نهشته ها و سازندهای زمین شناسی به ترتیب درصد مساحت رخنمون عبارتند از: آبرفت های قدیمی Qt1 به صورت نهشته های مخروط افکنه و پادگانه های قدیمی در دامنه های پرشیب حدود ۲۷ درصد، کنگلومرا و ماسه سنگ های پلیوسن PLQc که مساحتی در حدود ۱۶ درصد، آبرفت جدید Qt2 از آبرفت های جدید ۱۵ درصد، سازند خانگیران که اساساً شیلی و ضخامت آن زیاد است می تواند نشانه ای از آخرین پیشروی دریایی در مشرق و مرکز کپه داغ باشد و حدود ۱۳ درصد، پس از آن سازند چهل کمان به طور هم شیب بر روی سازند پستیق و در محل سد جنس آن آهکی و مارنی و در حدود ۵ درصد از منطقه رخنمون دارد. سازندهایی که زیر ۵ درصد از وسعت منطقه را دارند شامل سازند آبدراز، آهکهای مارنی سفید تا کرم رنگ و شیره های خاکستری روشن تشکیل شده است و به طور پیوسته بین سازند آتمیر و آب تلخ قرار دارد؛ سازند آب تلخ، که دارای سنگ شناسی شیل و سیلتستون های خاکستری روشن تا آبی مایل به سبز است؛ و سازند نیزار، شامل ماسه سنگ های دانه ریز تا دانه متوسط که بیشتر در



شکل ۲. نقشه زمین شناسی تهیه شده، پروفیل زمین شناسی در راستای AB و موقعیت ایستگاه‌های برداشت درزه در محدوده سد ابیورد.

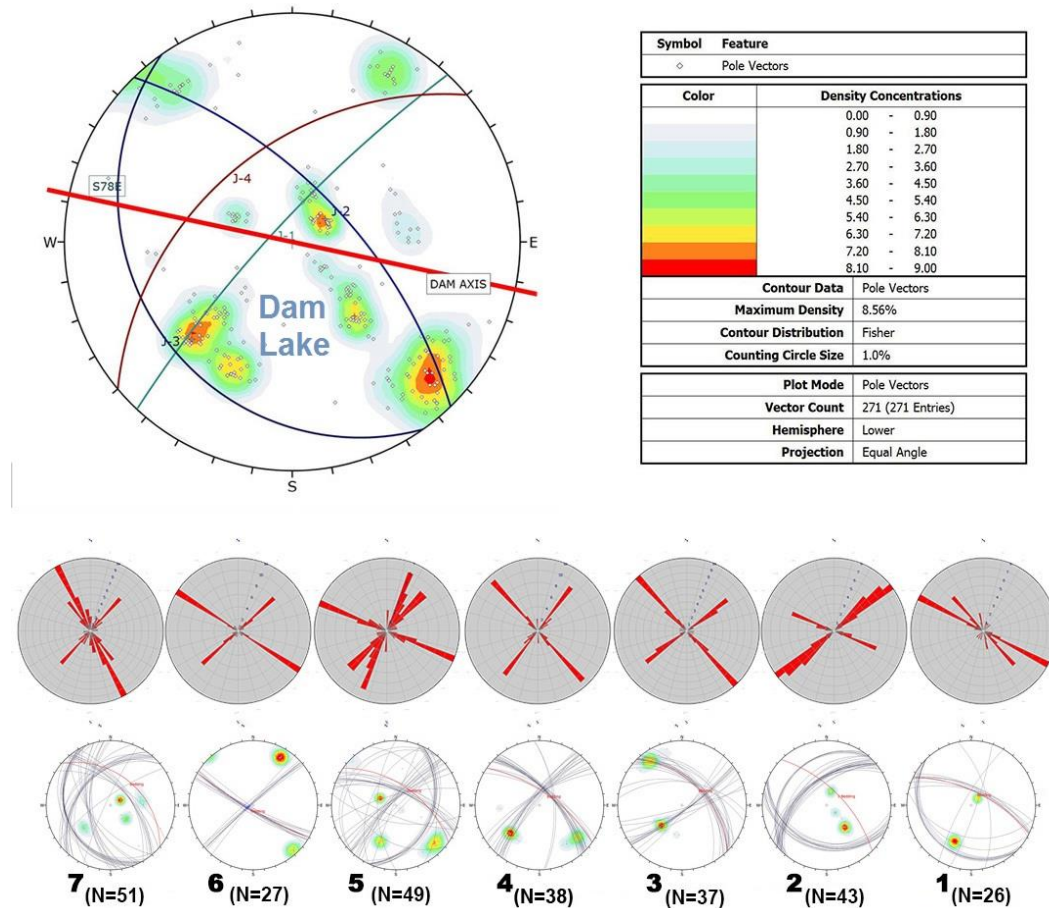
خوردگی ایجاد شده است. گسل‌های منطقه ابیورد به دو گروه عمده تقسیم می‌شوند: گروه اول گسل‌های راندگی با امتداد شمال غربی – جنوب شرقی و شیب حدود ۳۰ تا ۴۰ درجه به سمت شمال شرقی که این گسل‌ها همزمان با چین خوردگی لایه‌ها و در نتیجه لغزش طبقات در مکانیزم لغزش خمی بوجود آمده‌اند، و گروه دوم گسل‌های راستالغز با دو امتداد کلی شمال شرقی – جنوب غربی و شمال غربی – جنوب شرقی و شیب نزدیک به قائم می‌باشد که بیشتر آنها موجب جابجایی چپ بر و راست بر طبقات چین خورده و گسل‌های راندگی شده‌اند. بنابراین نسبت به گسل‌های گروه اول جوان‌تر هستند (اکرمی و همکاران، ۱۳۸۳). اما دسته دیگر از درزه‌ها و شکستگی‌های منطقه از نوع درزه‌های کششی عمود با محور چین خوردگی هستند که درزه‌ها و شکستگی‌های یال

۴. توسعه کارست بر اساس مطالعات زمین شناسی ساختاری و درزه‌نگاری منطقه

ساختارهای زمین شناسی منطقه سد ابیورد متاثر از حرکات تکتونیکی و ساختارهای عمومی حوضه کپه داغ می‌باشد. لذا هم جهت و هم امتداد با ابرساختارهای کپه داغ می‌باشدند. تاقدیس شمسی خان از عوارض مهم زمین شناسی منطقه ابیورد است که در نزدیکی شهر درگز در حدود ۱۵ کیلومتری آن واقع شده است. از لحاظ ساختاری و زمین شناسی سد ابیورد بر روی یال جنوبی ناویدیس ابیورد قرار گرفته است. ناویدیس ابیورد و تاقدیس شمالی شمسی خان با روندهای تقریباً شمال غربی – جنوب شرقی به طول حدودی ۲۰ کیلومتر به علت وجود تنش فشارشی ایجاد شده اند و گسل‌های امتداد لغز بر اثر فرآیند فشارش بر روی یالهای چین

رزدیاگرامها نشان می‌دهد که دو دسته درزه اصلی در منطقه دیده می‌شود، درزه‌های موازی با محور چین خوردنگی و درزه‌های عمود بر محور چین خوردنگی که از نوع درزه‌های کششی هستند.

جنوبی ناویس ابیورد در تکیه گاههای چپ و راست سد ابیورد از این نوع درزه‌ها هستند (شکل ۲). استریونت درزه‌های برداشت شده و رزدیاگرام درزه‌های هر یک از ۷ ایستگاه مطالعات درزه نگاری، در شکل ۳ ارایه شده است.

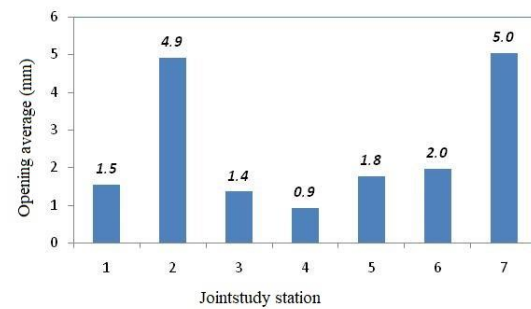


شکل ۳. استریونت کلی درزه‌های برداشت شده از منطقه ابیورد به همراه رزدیاگرام، تعداد برداشت و استریونت هر ایستگاه.

نشان می‌دهد که امتداد درزه‌ها با روند کلی ساختارهای تکتونیکی منطقه موازی می‌باشد، اما در دو ایستگاه ۲ و ۵ دسته درزه‌های عمود بر روند اصلی منطقه دیده می‌شوند. میزان باز شدنگی درزه‌ها در ایستگاه‌های ۲ و ۷ که در جناح راست قرار دارند بیشتر از ایستگاههای دیگر است و انتظار می‌رود توسعه کارست از این جناح بیشتر انجام شود. میزان باز شدنگی درزه‌ها در ایستگاه‌های ۲ و ۷ که در جناح راست قرار دارند بیشتر از ایستگاههای دیگر است و انتظار می‌رود توسعه کارست از این جناح بیشتر انجام شود (شکل ۴).

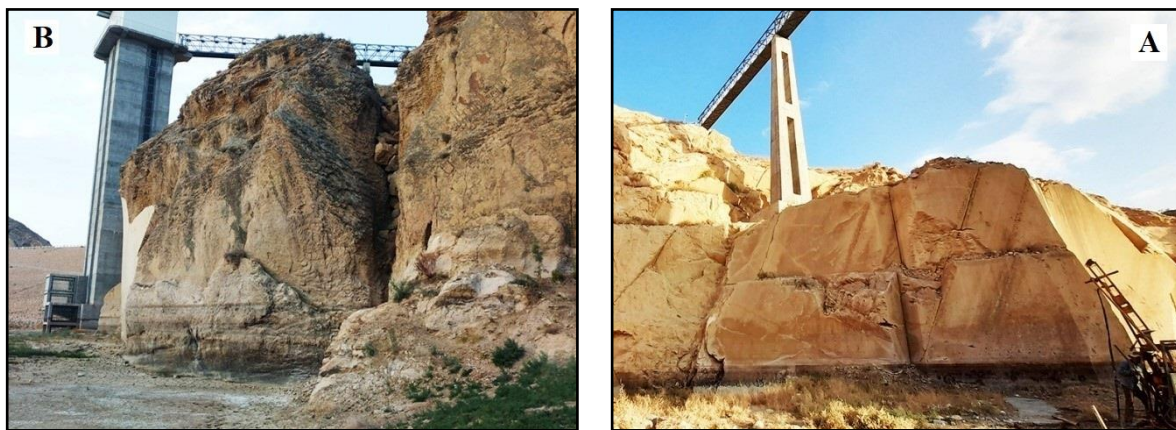
استریونت کلی چهار دسته درزه‌های غالب منطقه به همراه موقعیت امتداد محور سد ابیورد (EV8S) بر روی آن (شکل ۳)، نشان می‌دهد که شیب دسته درزه‌های J1 و J4 در تقاطع با محور سد و به طرف خارج مخزن و به سمت پایین دست سد است و مستعد فرار آب می‌باشد. شیب دسته درزه‌های J2 نیز به طرف خلاف جهت مخزن است و در مرتبه بعدی خروج آب قرار می‌گیرد. شیب J3 به طرف مخزن است و خروج آب از درزه‌ها را نخواهیم داشت. بررسی رزدیاگرام‌های برداشت شده در هر ایستگاه به طور مجزا

از نوع درزه های کششی موازی با محور چین خورده است و چون شبی خلاف مخزن سد دارند می تواند سبب خروج آب و توسعه کارست گردد. با توجه به دسته های درزه در هر کدام از ایستگاهها، درزه های ایستگاه های ۷، ۴، ۲، ۶ با این سری دسته ها موازی هستند و امکان توسعه کارست در این قسمتها بیشتر خواهد بود. همانطور که اشاره شد درزه های کششی بر روی یال جنوبی ناویس ابیورد (سازند کلات) که ناشی از حرکات تکتونیکی فشارشی هستند، در تکیه گاه راست بالادست مخزن سد ابیورد دیده می شود (شکل ۵) که در امتداد این درزه های کششی انحلال و ریزش نیز دیده می شود.



شکل ۴. بازشدگی درزه ها در ایستگاه های برداشت سد ابیورد.

دسته درزه های J1 و J4 از نوع کششی و عمود بر محور چین ها هستند و چون عمود بر تکیه گاه های سد هستند می توانند سبب خروج آب از مخزن به خارج شوند، لذا انتظار می رود در این درزه ها توسعه کارست بیشتر انجام گیرد. درزه های J2



شکل ۵. درزه ها و شکستگیهای جناح راست بالادست سد ابیورد (A-درزه های موازی با محور چین (J2)، و B-درزه های عمود بر محور چین (J4)).

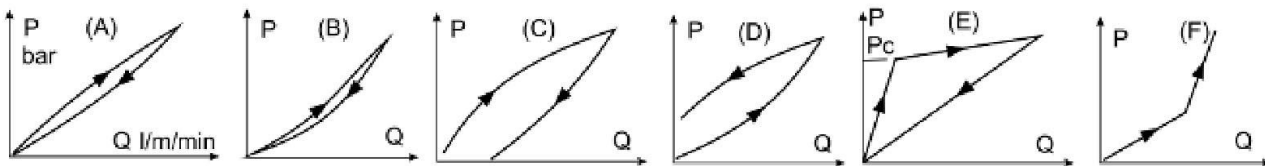
آب را در طول گمانه مشاهده نمود. با انجام آزمایشات نفوذپذیری لوژن در گمانه های اکتشافی، می توان نوع جریان در خلل و فرج توده های سنگی را تعیین نمود که با توجه به عدد لوژن و رفتار نمودار لوژن تا حدودی نوع جریان نیز مشخص خواهد شد (شکل ۶). با توجه به نتایج آزمایش لوژن (یک واحد لوژن یعنی مقدار آبی (لیتر) که در مدت یک دقیقه، مقطع یک متري گمانه در فشار ۱۰ بار جذب می شود) می توان به هدایت هیدرولیکی محیط متخلخل بی برد (Milanovic, 2018). هر چه عدد لوژن بالاتر باشد نشان

۵. توسعه کارست و نفوذپذیری بر اساس مطالعات ژئوتکنیک

به منظور شناسایی و درک وضعیت زیر سطحی بی سنگ و پیوستگی توده سنگ، نتایج حفر گمانه های اکتشافی در محور سد مورد بررسی قرار گرفته است (آب پوی، ۱۳۸۴). در مغزه های حفاری می توان گسترش پدیده کارست را از سطح زمین تا انتهای گمانه را تشخیص و در طول مغزه های گمانه های حفر شده، قطر حفره های کارستی، در صورت وجود، را بررسی و شناسایی نمود، و همچنین می توان تغییرات سطح

(جدول ۴).

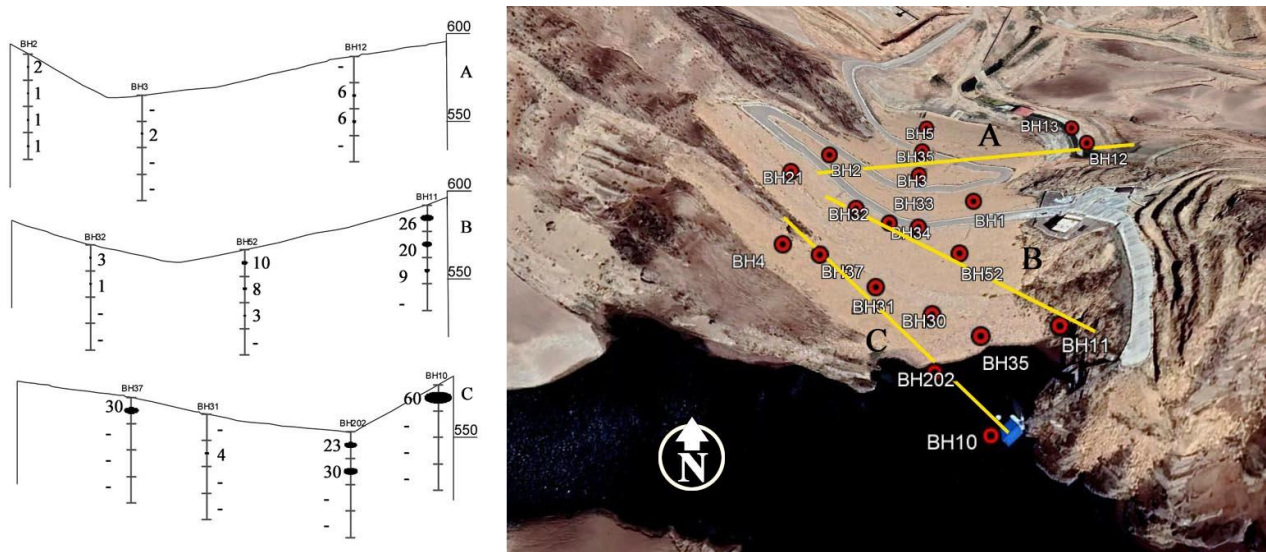
دهنه نفوذپذیری بیشتر توده سنگ و مجراهای بزرگتر، خلل و فرج زیادتر و در نتیجه توسعه کارست بیشتر خواهد بود



شکل ۶. نمودارهای آزمایش لوزن میزان جذب آب در گمانه نسبت به افزایش فشار. A : جریان خطی B : جریان آشفته C : شکست هیدرولیکی - D: شستشوی درزه ها - E : پرشدن درزه ها - F : جریان احتمالی در اطراف پکر (Milanovic, 2018)

های سنگی رابطه مستقیم دارد (جدول ۴) و به تبع آن پتانسیل کارست شدگی و انحلال توده های آهکی افزایش می یابد. از آزمایشهای نفوذپذیری لوزن که دراعمق مختلف در ساختگاه سد ابیورد بدست آمده جهت این مقاله استفاده شده است (آب پوی، ۱۳۸۴).

در این مقاله از اطلاعات ۱۹ گمانه اکتشافی (شکل ۷-راست) که در زمان مطالعات مرحله دوم در محل محور سد ابیورد در امتداد محور و در راستای بستر و تکیه گاهها حفاری شده اند (آب پوی، ۱۳۸۴)، جهت بررسی توسعه کارست استفاده شده است. نتایج آزمون لوزن با میزان بازشدگی و نفوذپذیری توده



شکل ۷. موقعیت گمانه های سد ابیورد (راست) و پروفیل تغییرات لوزن در گمانه های اکتشافی در سه راستای مختلف (چپ).

در زیر بستر رودخانه در مسیر گمانه های BH202 و BH52 با نفوذپذیری پایین تر، مشاهده کرد، اما در تکیه گاه چپ فقط در گمانه BH37 نفوذپذیری داریم و جریان کمتری قابل پیش‌بینی است. همچنین با بررسی نمودارهای دبی-زمان در آزمایشهای لوزن گمانه ها (جدول ۴) مشاهده می شود که در تکیه گاه راست جریان های آشفته و خطی و پس از آن در بستر رودخانه جریان خطی و مقدار کمتری آشفتگی جریان را

پس از بدست آوردن آزمایشهای نفوذپذیری لوزن دراعمق مختلف در ساختگاه سد ابیورد، با ترسیم پروفیل های تغییرات لوزن در گمانه های اکتشافی (شکل ۷-چپ) می توان نفوذپذیری و مسیر جریان را تا حدودی تعیین کرد. از آنجائی که در مسیر سه گمانه BH11، BH10 و BH12 که هر سه تقریبا در یک تراز توده سنگی نفوذپذیری بیشتری دارند، می توان بهترین مسیر جریان را در تکیه گاه راست، و پس از آن

داریم و در تکیه گاه چپ بیشتر جریان خطی است که با افزایش فشار بازشدگی و آب شستگی اتفاق می‌افتد (جدول ۴).

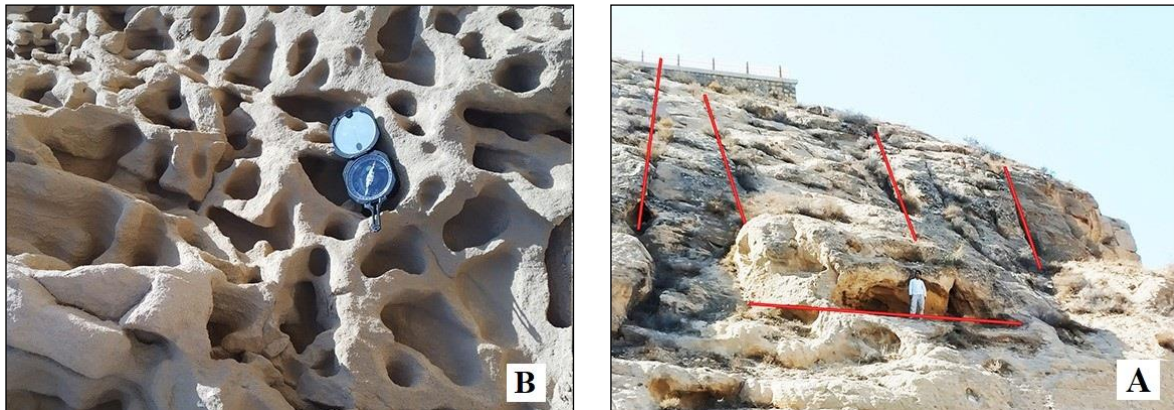
جدول ۴. رفتار توده سنگی در مقابل فشار آب در آزمایشات لوزن در سد ابیورد (آب پوی، ۱۳۸۴).

Flow type (percentage)					Location
Filling	Erosion	Dilation	Turbulent	Laminar	
---	---	25	37.5	37.5	Right abutment
9.8	12.56	21.3	24.6	31.4	The river bed under dam
---	20	50	---	30	Left abutment

حفرات انحلالی ناشی از انحلال آهک‌ها در امتداد شکستگی‌ها در سازند کلات در جناح راست پایین دست سد ابیورد در شکل ۸ دیده می‌شود. کارن‌ها و میکروکارن‌های خطی عمدتاً در محل درزه بندی و ترک خورده‌گی سنگ کارستی بوجود آمده‌اند، در حالی که کارن‌ها یا لایه‌های کندوئی یا لانه زنبوری در سازند‌های با انحلال پذیری متفاوت (در ماسه سنگ آهکی چهل کمان) بوجود می‌آیند (شکل ۸-B).

۶. پدیده‌های کارستی و نقشه پهنه بندی پتانسیل کارستی شدن در منطقه ابیورد

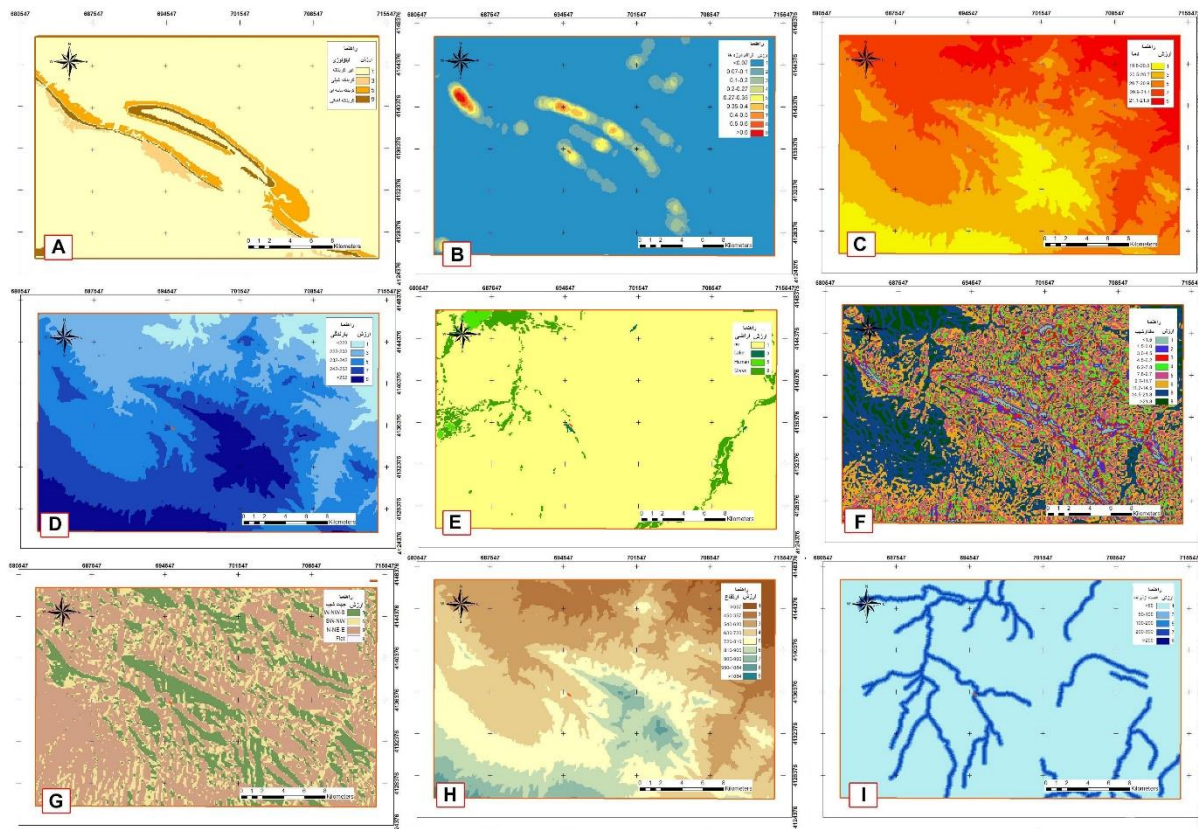
مهمترین اشکال کارستی منطقه ابیورد را می‌توان به صورت کارن‌ها و میکروکارن‌هایی که در اثر بارش مستقیم باران بر روی سطح سنگ‌های انحلال پذیر و همچنین در اثر روانابهای ورقه‌ای و کانالی ناشی از بارش ایجاد می‌شوند را مشاهده نمود. با افزایش زمان جریان و انحلال، حفرات انحلالی و غارچه‌ها در راستای بازشدگی‌های طبیعی مرتبط یا مجزا در سنگ‌های آهکی بوجود می‌آیند. یکی نمونه از این



شکل ۸-A- ایجاد حفره‌های انحلالی در راستای درزه‌های سازند کلات. B- کارن‌های کندوئی سازند چهل کمان.

کارست (مطابق جدول ۳) برای منطقه ابیورد تهیه شد که در شکل ۹، ارایه شده است.

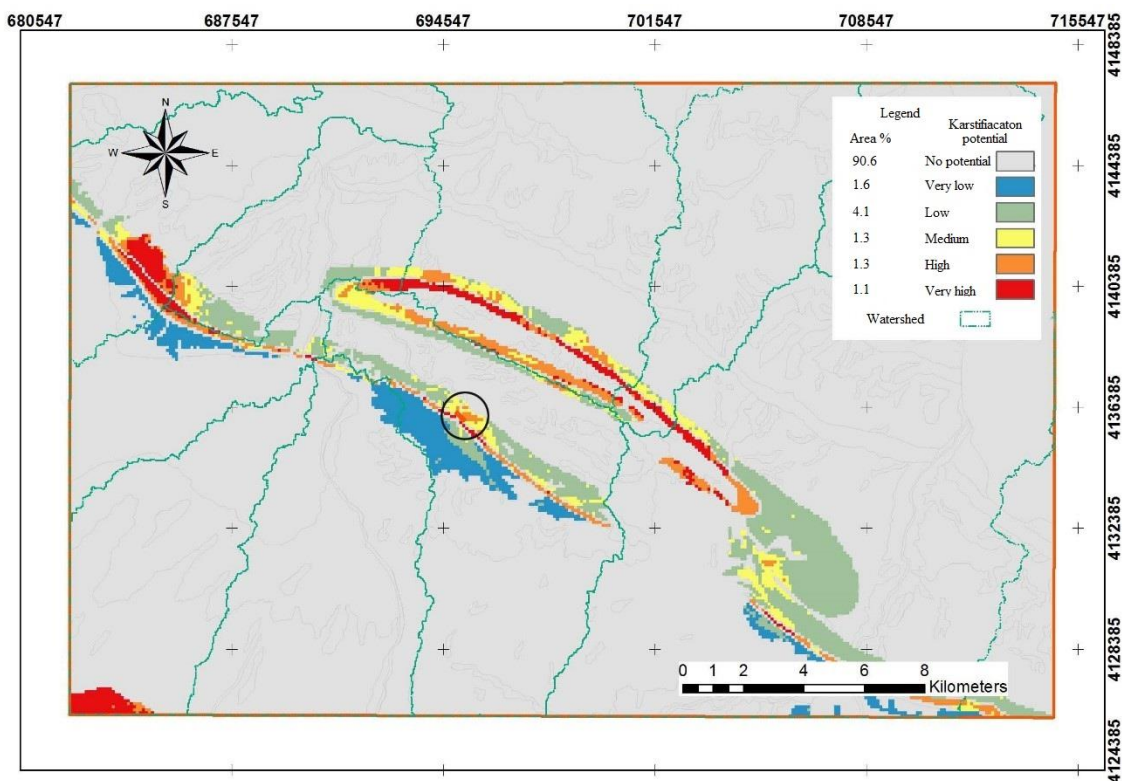
به منظور بررسی پتانسیل توسعه کارست، ابتدا نقشه‌های رسترن برای هر یک از لایه‌های اطلاعاتی موثر در توسعه



شکل ۹. نقشه های تهیه شده برای مطالعه کارست به روش سلسله مراتبی در منطقه ابیورد: A- لیتولوژی (سازندهای کربناته و غیرکربناته)، B- درزه ها و شکستگی ها، C- هم دما، D- هم بارش، E- جهت شیب، F- کاربری اراضی، G- شیب، H- توپوگرافی (ارتفاعی)، و I- فاصله از آبراهه ها.

است. نتایج بررسی مناطق مستعد کارستی شدن در منطقه ابیورد، نشان می دهد که در این محدوده سازندهای کلات و چهل کمان در امتداد شمال غربی - جنوب شرقی منطقه از لحاظ توسعه کارست و کارستی شدن مستعدتر از بقیه نقاط محدوده ابیورد می باشد. لذا با توجه به وجود سازند آهکی کلات در محل ساختگاه سد ابیورد و ایجاد دریاچه سد پس از آبگیری- که خود باعث افزایش پتانسیل توسعه کارست خواهد شد- ساختگاه سد دارای پتانسیل خیلی بالا در توسعه کارست خواهد بود.

شکل ۱۰، نقشه نهایی پهنه بندی پتانسیل توسعه کارست برای محدوده مورد مطالعه ابیورد، که از همپوشانی لایه های اطلاعاتی رستری به روش سلسله مراتبی بدست آمده است، را نشان می دهد. بر اساس اصول مبانی کارست و مشاهدات میدانی، نقشه نهایی حاصل از پهنه بندی پتانسیل کارستی شدن، به پنج طبقه: قادر پتانسیل، پتانسیل پایین، متوسط، بالا و خیلی بالا طبقه بندی شد و مساحت و درصد طبقات پتانسیل توسعه کارست از کل محدوده مطالعه شده (به مساحت ۳۷۸۰ کیلومتر مربع)، در جدول روی شکل ۱۰ ارایه شده



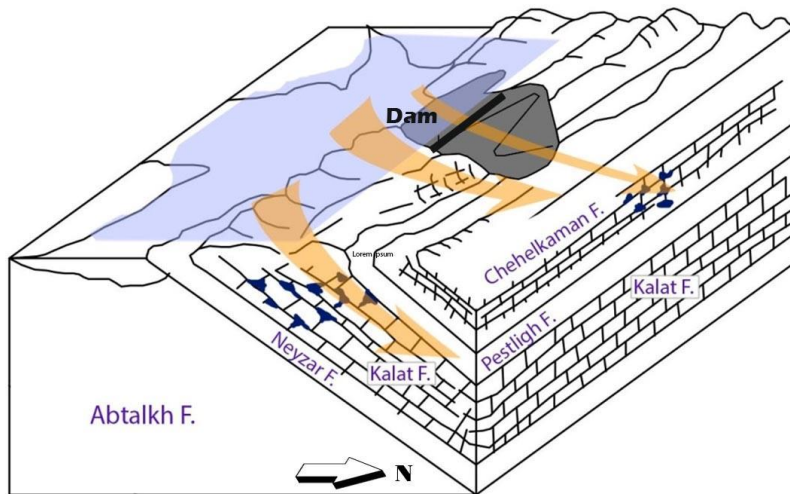
شکل ۱۰. نواحی مستعد کارستی شدن و نقشه پهنی بندی پتانسیل توسعه کارست در منطقه ایبورد بر اساس روش سلسله مراتبی-موقعیت سد به صورت دایره مشکی آمده است.

تفسیر داده های ژئوتکنیک (نفوذپذیری لوزن)، و با استفاده از روش کارسیس، مدل ساختاری - مفهومی از موقعیت سد ایبورد در تکیه گاههای کارستی تهیه و در شکل ۱۱ ارائه شده است. طبق این مدل، سد ایبورد بر روی یال جنوبی ناودیس ایبورد واقع شده است، با توجه به شبکه بندی سازند کلات به سمت پایین دست و نفوذپذیری گمانه های ژئوتکنیک، می توان انتظار داشت علاوه بر نقش لایه بندی در نشت و انتقال آب، درزه های کششی عمود بر محور چین خوردگی ها نیز باعث نشت آب از تکیه گاه جناح راست و زیر سد خواهد شد . که از لحاظ ساختمانی، احتمال وجود کارست از نوع زمین ناودیس (geosynclinal karst) می باشد. ورس (Veress, 2020).

۷. مدل مفهومی کارست در ساختگاه سد ایبورد

یکی از روش های تهیه مدل مفهومی، روش کارسیس است، که دارای سه مزیت است: کاهش هزینه ها و عدم انجام بررسی های زائد، تعیین چارچوب مطالعات تکمیلی و بهبود تفسیر داده های جمع آوری شده. اصول این روش بر پایه حرکت آب در محیط کارست توسط گرادیان هیدرولیکی و هندسه آبخوان مانند لایه بندی آهک کترل می گردد و مدل مفهومی آبخوان ابتدا با ساختن مدل فرضی اولیه بر اساس سعی و خطأ و سپس با داده های بعدی تکمیل می شود (کریمی وردنجانی، ۱۳۹۴).

بر اساس نتایج حاصل از برداشت های صحرایی، درزه نگاری، عکس های هوایی و سنجش از دور، مطالعات زمین شناسی و



شکل ۱۱. مدل مفهومی از جهت جریان و مسیر توسعه کارست در سد ابیورد.

با توجه به موقعیت قرارگیری سد، ساختگاه سد ابیورد نیز پتانسیل بالایی در کارستی شدن و توسعه کارست دارد که با توجه به مدل مفهومی ارائه شده می‌توان انتظار داشت که با آبگیری سد و افزایش ارتفاع و فشار آب، بخش زیادی از آب مخزن از درزهای لایه بندي سازند کلات و درزهای کششی که ناشی از چین خوردهای های مربوط به ناویدیس ابیورد است، نشت کند و این جریان باعث انحلال سازند آهکی کلات در مسیر این درزه ها و به دنبال آن توسعه کارست خواهد شد.

تقدیر و تشکر

از معاونت پژوهشی دانشگاه فردوسی مشهد، بخاطر فراهم آوردن شرایط انجام پیمایش و عملیات صحرایی، و از شرکت آب منطقه ای استان خراسان رضوی، بخاطر در اختیار گذاردن اطلاعات طرح (در راستای قرارداد شماره ۴-۹۹۰۰۴-KOGW) می‌گردد.

۸. نتیجه گیری

نتایج حاصل از بررسی عکس‌های هوایی و سنجش از دور برداشت‌های صحرایی، مطالعات درزه نگاری که نشان از همسو بودن جهت شیب دو دسته درزه تکیه‌گاهها به سمت مخزن است و تفسیر نفوذپذیری گمانه های ژئوتکنیک (نفوذپذیری لوژن) که حاکی از نفوذپذیری در تکیه‌گاههای سمت راست و بستر سنگی سد می‌باشد، و با توجه به قرارگیری سد ابیورد بر روی یال جنوبی ناویدیس ابیورد، و بررسی شیب لایه بندي سازند کلات به سمت پایین دست، همانطور که در مدل مفهومی آمده است، مسیر نشت آب از تکیه گاه راست و تکیه گاه از زیر بدنه سد می‌باشد. همچنین بررسی پتانسیل کارستی شدن به روش تحلیل سلسله مراتبی (AHP) در محدوده سد ابیورد نشان می‌دهد که ۲/۴ درصد از محدوده پتانسیل کارستی شدن دارند. این مناطق بیشتر شامل سازندهای آهکی محدوده مانند کلات و چهل کمان می‌باشند.

منابع

- آفاجری، ل. ا. علوی، س. ا. قاسمی، م. و کاووسی، م.، ۱۳۹۶، پهنه بندي ساختاری و ریخت زمین ساختی کپه داغ خاوری، علوم زمین، سال بیست و ششم، شماره ۱۰۴، ۱۲۵-۱۳۴.
- رضایی عارفی، م. زنگنه، م. بهنیافر، ا. و جوانبخت، م.، ۱۳۹۹، پهنه بندي تحول کارست با استفاده از روش تحلیل سلسله مراتبی (حوضه کوهستانی کلات)، فصلنامه علمی - پژوهشی و بین المللی انجمن جغرافیایی ایران، سال هجدهم، شماره ۶۴، ۹۴-۷۹.

- کریمی وردنجانی، ح.، ۱۳۹۴، هیدروژئولوژی و ژئومورفولوژی کارست، انتشارات ارم شیراز.
- کریمیان طقبه، ا.، موسوی حرمی، س. ر.، محبوی، ا.، چینه نگاری سکانسی و تفسیر تاریخچه دیاژنزی سازندهای کلات و پسته لیق در تاقدیس شمس در ناحیه درگز، پایان نامه کارشناسی ارشد، دانشگاه فردوسی مشهد.
- ولایتی، س.، ۱۳۸۷. هیدروژئولوژی سازندهای نرم و سخت (مبانی نظری و عملی)، انتشارات جهاد دانشگاهی مشهد.
- شرکت مهندسین مشاور آب پوی، ۱۳۸۴. گزارش سیمای طرح مطالعات بند انحرافی و سد ایبورد.
- اکرمی، م.، ا.، شجاعی، ن.، بهرمند، م.، مافی، ا.، چایچی، ز.، حدادان، م.، ۱۳۸۳. نقشه ۱:۱۰۰۰۰۰ زمین‌شناسی درگز، سازمان زمین‌شناسی و اکتشافات معدنی کشور.
- ولایتی، س.، خانعلی زاده، ف.، ۱۳۹۰. بررسی رابطه ساختارهای تکتونیک و اشکال کارستی (حوضه آبریز سد کارده). فصلنامه علمی - پژوهشی انجمن جغرافیای ایران، دوره جدید، سال نهم، شماره ۳۱، ۱۷۱-۱۸۹.
- Abdelouaheb, T., Boualem, R., 2018. The Problem of Water Leakage in BeniHaroun Reservoir (Algeria), Jordan Journal of Civil Engineering, 12(3):402-423.
- Adinehvand, R., 2017. Application of Hydrogeology, Modeling and Dye Tracing in Evaluation of Leakage Potential from Karstic Dam Sites Case Study: Abolabbas Dam, Southwest of Iran,.School of Science Ph.D. Dissertation in Geology- Hydrogeology.
- Ghobadi, M., Khanlari, G., Dilalay, H., 2005. Seepage problems in the right abutment of the Shahid Abbaspour. Engineering Geology, 82: 119–126.
- Hocini, N., Mami, N., 2011. Detection of water leakage in the Beni-Haroun dam (Algeria). IAEA, Pub1580_vol2_web:359-365.
- Laksiri, L., 2007. Investigation of water leakage mechanism in the karstic site Samanalawewadam, Serilanka.department of engineering systems and technology. requirement for the degree of doctor of philosophy.
- Milanovic, P., 2018. Engineering karstology of dams and reservoirs. CRC press.
- Mozafari, M., Raeisi, E., 2017. Leakage paths at the Lar Dam site, northern Iran .Quarterly Journal of Engineering Geology and Hydrogeology, 50(4):444-453.
- Mozafari, M., Raeisi, E., 2015. Understanding Karst Leakage at the Kowsar Dam,Iran, by Hydro geological Analysis. Environmental and Engineering Geoscience, 21(4):325-339
- Turkmen,S., Ozguler, E., Taga, H., Karaogullarindan,T.,2002. Seepage problems in the karstic limestone foundation of the Kalecik Dam (south Turkey). Engineering Geology, 63: 247– 257.
- Unal, B., Eren, M., Yalcin, M., 2007. Investigation of leakage at Ataturk dam and hydroelectric powerplant by means of hydrometric Measurements. Engineering Geology 93:45-63.
- Veress,M., 2020. Karst Types and Their Karstification, Journal of Earth Science, 31(3): 621–634.